

Тиристор низкочастотный Т343-800-18



Средний прямой ток		I_{TAV}		800 А				
Повторяющееся импульсное напряжение в закрытом состоянии		U_{DRM}		1000 - 1800 В				
Повторяющееся импульсное обратное напряжение		U_{RRM}						
Время выключения		t_q		200, 250, 320, 400, 500 мкс				
$U_{DRM}, U_{RRM}, В$	1000	1100	1200	1300	1400	1500	1600	1800
Класс по напряжению	10	11	12	13	14	15	16	18
$T_j, ^\circ C$	-60 ÷ 130							

ПРЕДЕЛЬНО ДОПУСТИМЫЕ ЗНАЧЕНИЯ ПАРАМЕТРОВ

Обозначение и наименование параметра		Ед. изм.	Значение	Условия измерения	
Параметры в проводящем состоянии					
I_{TAV}	Средний ток в открытом состоянии	А	800 788	$T_c=84^\circ C$; двухстороннее охлаждение; $T_c=85^\circ C$; двухстороннее охлаждение; 180 эл. град. синус; 50 Гц	
I_{TRMS}	Действующий ток в открытом состоянии	А	1256	$T_c=84^\circ C$; двухстороннее охлаждение; 180 эл. град. синус; 50 Гц	
I_{TSM}	Ударный ток в открытом состоянии	кА	14.0 16.0	$T_j=T_{j\max}$ $T_j=25^\circ C$	180 эл. град. синус; $t_p=10$ мс; единичный импульс; $U_D=U_R=0$ В; Импульс управления: $I_G=2$ А; $t_{GP}=50$ мкс; $di_G/dt \geq 1$ А/мкс
			15.0 17.0	$T_j=T_{j\max}$ $T_j=25^\circ C$	180 эл. град. синус; $t_p=8.3$ мс; единичный импульс; $U_D=U_R=0$ В; Импульс управления: $I_G=2$ А; $t_{GP}=50$ мкс; $di_G/dt \geq 1$ А/мкс
I^2t	Защитный фактор	$A^2c \cdot 10^3$	980 1280	$T_j=T_{j\max}$ $T_j=25^\circ C$	180 эл. град. синус; $t_p=10$ мс; единичный импульс; $U_D=U_R=0$ В; Импульс управления: $I_G=2$ А; $t_{GP}=50$ мкс; $di_G/dt \geq 1$ А/мкс
			930 1190	$T_j=T_{j\max}$ $T_j=25^\circ C$	180 эл. град. синус; $t_p=8.3$ мс; единичный импульс; $U_D=U_R=0$ В; Импульс управления: $I_G=2$ А; $t_{GP}=50$ мкс; $di_G/dt \geq 1$ А/мкс

Блокирующие параметры				
U_{DRM}, U_{RRM}	Повторяющееся импульсное обратное напряжение и повторяющееся импульсное напряжение в закрытом состоянии	В	1000 - 1800	$T_{j\min} < T_j < T_{j\max}$; 180 эл. град. синус; 50 Гц; управление разомкнуто
U_{DSM}, U_{RSM}	Неповторяющееся импульсное обратное напряжение и неповторяющееся импульсное напряжение в закрытом состоянии	В	1100 - 1900	$T_{j\min} < T_j < T_{j\max}$; 180 эл. град. синус; единичный импульс; управление разомкнуто
U_D, U_R	Постоянное обратное и постоянное прямое напряжение	В	$0.6 \cdot U_{DRM}$ $0.6 \cdot U_{RRM}$	$T_j = T_{j\max}$; управление разомкнуто
Параметры управления				
I_{FGM}	Максимальный прямой ток управления	А	8	$T_j = T_{j\max}$
U_{RGM}	Максимальное обратное напряжение управления	В	5	
P_G	Максимальная рассеиваемая мощность по управлению	Вт	4	$T_j = T_{j\max}$ для постоянного тока управления
Параметры переключения				
$(di_T/dt)_{crit}$	Критическая скорость нарастания тока в открытом состоянии ($f=1$ Hz)	А/мкс	1250	$T_j = T_{j\max}$; $U_D = 0.67 \cdot U_{DRM}$; $I_{TM} = 2000$ А; Импульс управления: $I_G = 2$ А; $t_{GP} = 50$ мкс; $di_C/dt \geq 2$ А/мкс
Тепловые параметры				
T_{stg}	Температура хранения	°С	-60...+50	
T_j	Температура р-п перехода	°С	-60...+130	
Механические параметры				
F	Монтажное усилие	кН	14.0 - 16.0	
a	Ускорение	м/с ²	50	В зажатом состоянии

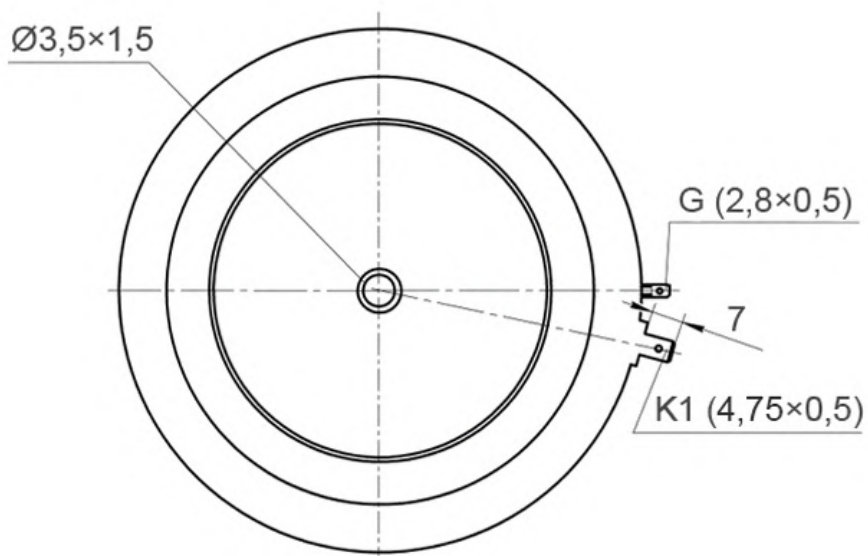
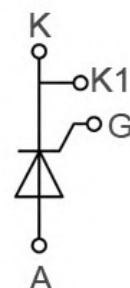
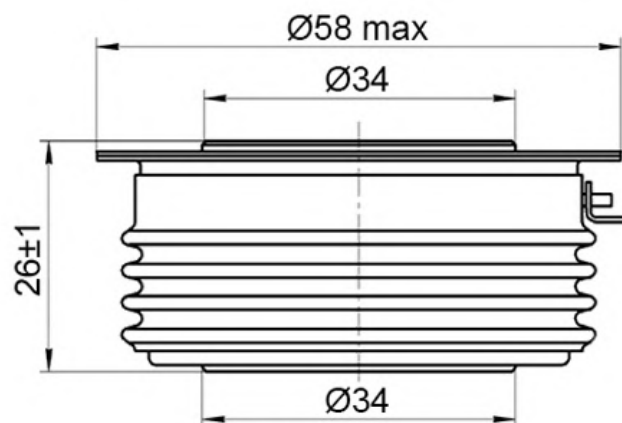
ХАРАКТЕРИСТИКИ

Обозначение и наименование характеристики	Ед. изм.	Значение	Условия измерения	
Характеристики в проводящем состоянии				
U_{TM}	Импульсное напряжение в открытом состоянии, макс	В	1.50	$T_j = 25$ °С; $I_{TM} = 1570$ А
$U_{T(TO)}$	Пороговое напряжение, макс	В	0.957	$T_j = T_{j\max}$; $0.5 p I_{TAV} < I_T < 1.5 p I_{TAV}$
r_T	Динамическое сопротивление в открытом состоянии, макс	МОм	0.349	
I_L	Ток включения, макс	мА	1000	$T_j = 25$ °С; $U_D = 12$ В; Импульс управления: $I_G = 2$ А; $t_{GP} = 50$ мкс; $di_C/dt \geq 1$ А/мкс
I_H	Ток удержания, макс	мА	300	$T_j = 25$ °С; $U_D = 12$ В; управление разомкнуто
Блокирующие характеристики				
I_{DRM}, I_{RRM}	Повторяющийся импульсный обратный ток и повторяющийся импульсный ток в закрытом состоянии, макс	мА	100	$T_j = T_{j\max}$; $U_D = U_{DRM}$; $U_R = U_{RRM}$
$(du_D/dt)_{crit}$	Критическая скорость нарастания напряжения в закрытом состоянии ¹⁾ , мин	В/мкс	200, 320, 500, 1000, 1600, 2000, 2500	$T_j = T_{j\max}$; $U_D = 0.67 \cdot U_{DRM}$; управление разомкнуто

Характеристики управления					
U_{GT}	Отпирающее постоянное напряжение управления, макс	В	3.00 2.50 1.50	$T_j = T_{j\ min}$ $T_j = 25\ ^\circ C$ $T_j = T_{j\ max}$	$U_D = 12\ В; I_D = 3\ А;$ Постоянный ток управления
I_{GT}	Отпирающий постоянный ток управления, макс	мА	400 250 150	$T_j = T_{j\ min}$ $T_j = 25\ ^\circ C$ $T_j = T_{j\ max}$	
U_{GD}	Неотпирающее постоянное напряжение управления, мин	В	0.30	$T_j = T_{j\ max};$ $U_D = 0.67 \cdot U_{DRM};$	Постоянный ток управления
I_{GD}	Неотпирающий постоянный ток управления, мин	мА	35.00		
Динамические характеристики					
t_{gd}	Время задержки включения, макс	мкс	0.80	$T_j = 25\ ^\circ C; U_D = 1000\ В; I_{TM} = I_{TAV};$ $di/dt = 200\ А/мкс;$	Импульс управления: $I_G = 2\ А; U_G = 20\ В;$ $t_{GP} = 50\ мкс; di_G/dt = 2\ А/мкс$
t_{gt}	Время включения, макс	мкс	3.00		
t_q	Время выключения ²⁾ , макс	мкс	200, 250, 320, 400, 500	$dv_D/dt = 50\ В/мкс; T_j = T_{j\ max}; I_{TM} = I_{TAV}; di_R/dt = -10\ А/мкс; U_R = 100\ В;$ $U_D = 0.67 \cdot U_{DRM};$	
Q_{rr}	Заряд обратного восстановления, макс	мкКл	1890	$T_j = T_{j\ max}; I_{TM} = 800\ А; di_R/dt = -10\ А/мкс; U_R = 100\ В$	
t_{rr}	Время обратного восстановления, макс	мкс	25		
I_{rrM}	Ток обратного восстановления, макс	А	151		
Тепловые характеристики					
R_{thjc}	Тепловое сопротивление р-п переход-корпус, макс	$^\circ C/Вт$	0.035	Постоянный ток	Двухстороннее охлаждение
R_{thjc-A}			0.077		Охлаждение со стороны анода
R_{thjc-K}			0.063		Охлаждение со стороны катода
R_{thck}	Тепловое сопротивление корпус-охладитель, макс	$^\circ C/Вт$	0.006	Постоянный ток	
Механические характеристики					
w	Масса, не более	г	280		
D_s	Длина пути тока утечки по поверхности	мм (дюйм)	27.60 (1.087)		
D_a	Длина пути тока утечки по воздуху	мм (дюйм)	16.00 (0.630)		

ГАБАРИТНЫЕ РАЗМЕРЫ

Тип корпуса: Т.СЗ, РТ43



- К – катод;
- А – анод;
- К1 – вспомогательный катод;
- Г – управляющий электрод;

Все размеры в миллиметрах

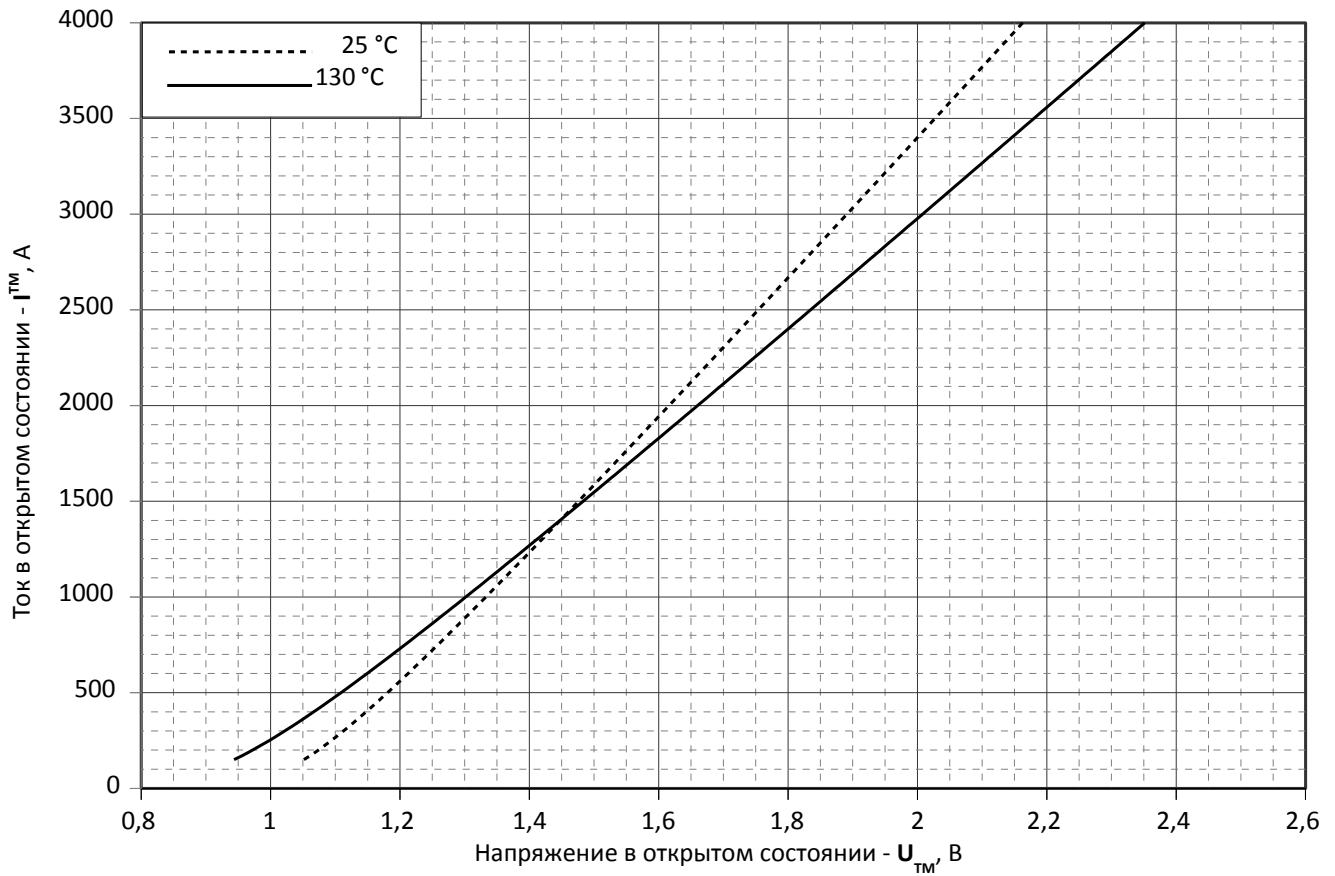


Рис. 1 – Предельная вольт – амперная характеристика

Аналитическая функция предельной вольт — амперной характеристики:

$$V_T = A + B \cdot i_T + C \cdot \ln(i_T + 1) + D \cdot \sqrt{i_T}$$

	Коэффициенты для графика	
	$T_j = 25^\circ\text{C}$	$T_j = T_{j \text{ max}}$
A	0.84480000	0.66842000
B	0.00026689	0.00033797
C	0.03470100	0.04698400
D	-0.00058991	-0.00092423

Модель предельной вольт – амперной характеристики (см. Рис. 1)

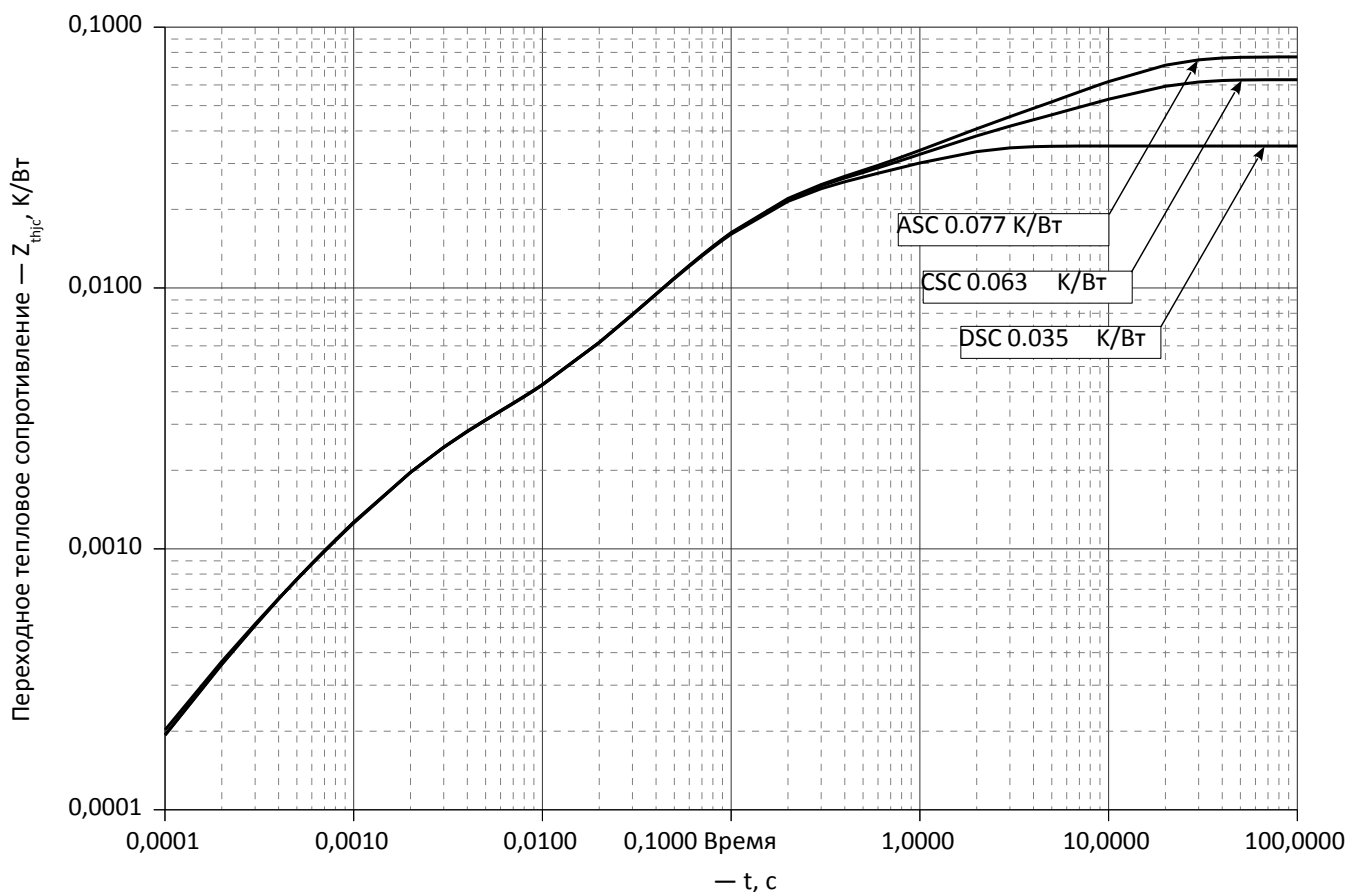


Рис. 2 – Зависимость переходного теплового сопротивления Z_{thjc} от времени t

Аналитическая зависимость переходного теплового сопротивления переход — корпус:

$$Z_{thjc} = \sum_{i=1}^n R_i \left(1 - e^{-\frac{t}{\tau_i}} \right)$$

Где $i = 1$ to n , n – число суммирующихся элементов.

t = продолжительность импульсного нагрева в секундах. Z_{thjc} =

Тепловое сопротивление за время t .

R_i, τ_i = расчетные коэффициенты, приведенные в таблице.

Постоянный ток, двустороннее охлаждение

i	1	2	3	4	5	6
$R_i, K/W$	2.007e-005	0.01412	0.01797	0.0007764	0.00193	0.0001844
τ_i, s	4.957	0.9362	0.09335	0.04227	0.001702	0.0002492

Постоянный ток, охлаждение со стороны анода

i	1	2	3	4	5	6
$R_i, K/W$	0.04173	0.01173	0.01847	0.001981	0.0001722	0.002719
τ_i, s	9.751	1.085	0.09044	0.00175	0.0001916	0.791

Постоянный ток, охлаждение со стороны катода

i	1	2	3	4	5	6
$R_i, K/W$	0.02781	0.0007698	0.01797	0.001931	0.000209	0.01416
τ_i, s	9.752	0.186	0.08881	0.001757	0.0002747	1.004

Модель переходного теплового сопротивления переход - корпус (см. Рис. 2)

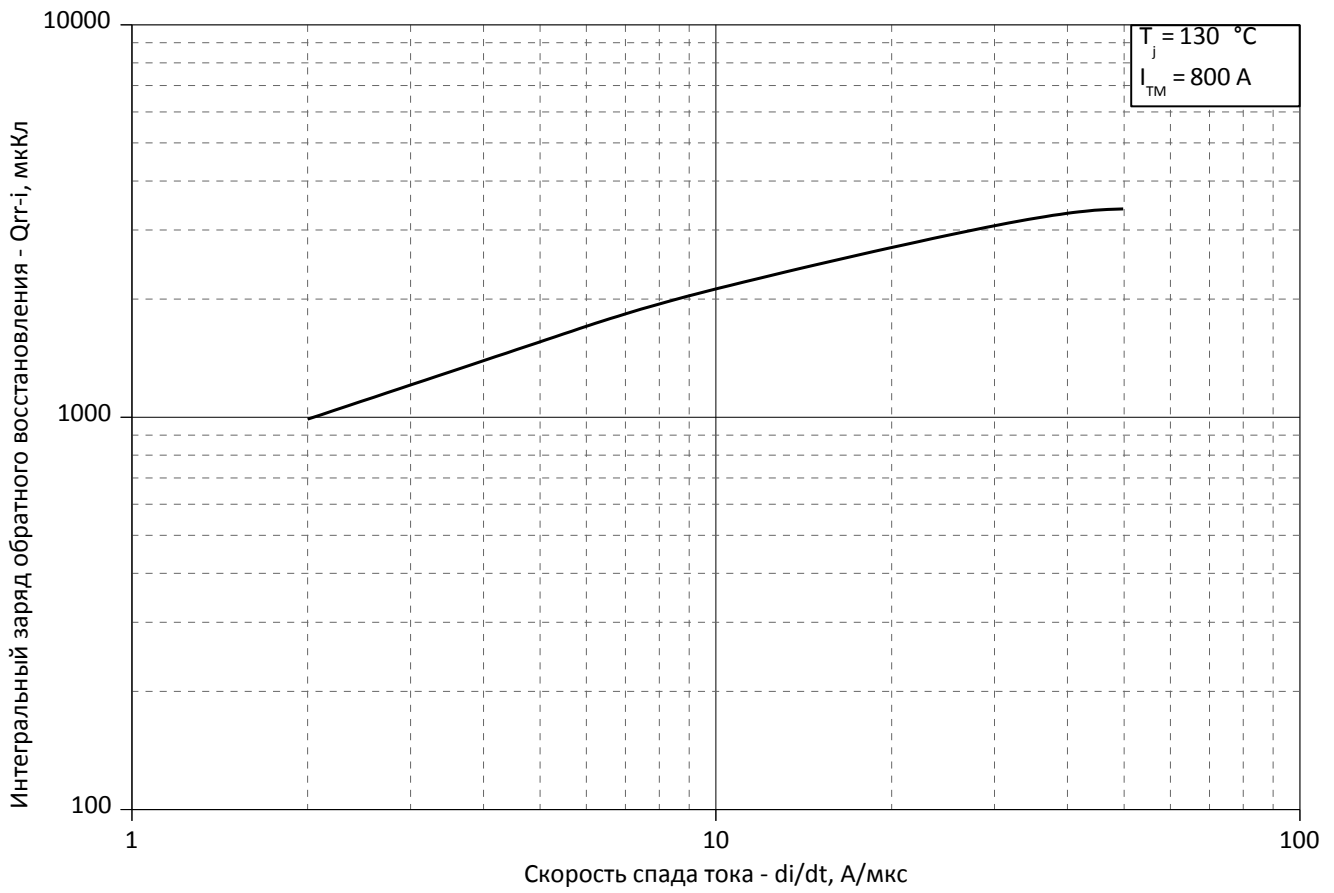


Рис. 3 – Зависимость максимального интегрального заряда обратного восстановления Q_{гр-і} от скорости спада тока di_r/dt в открытом состоянии

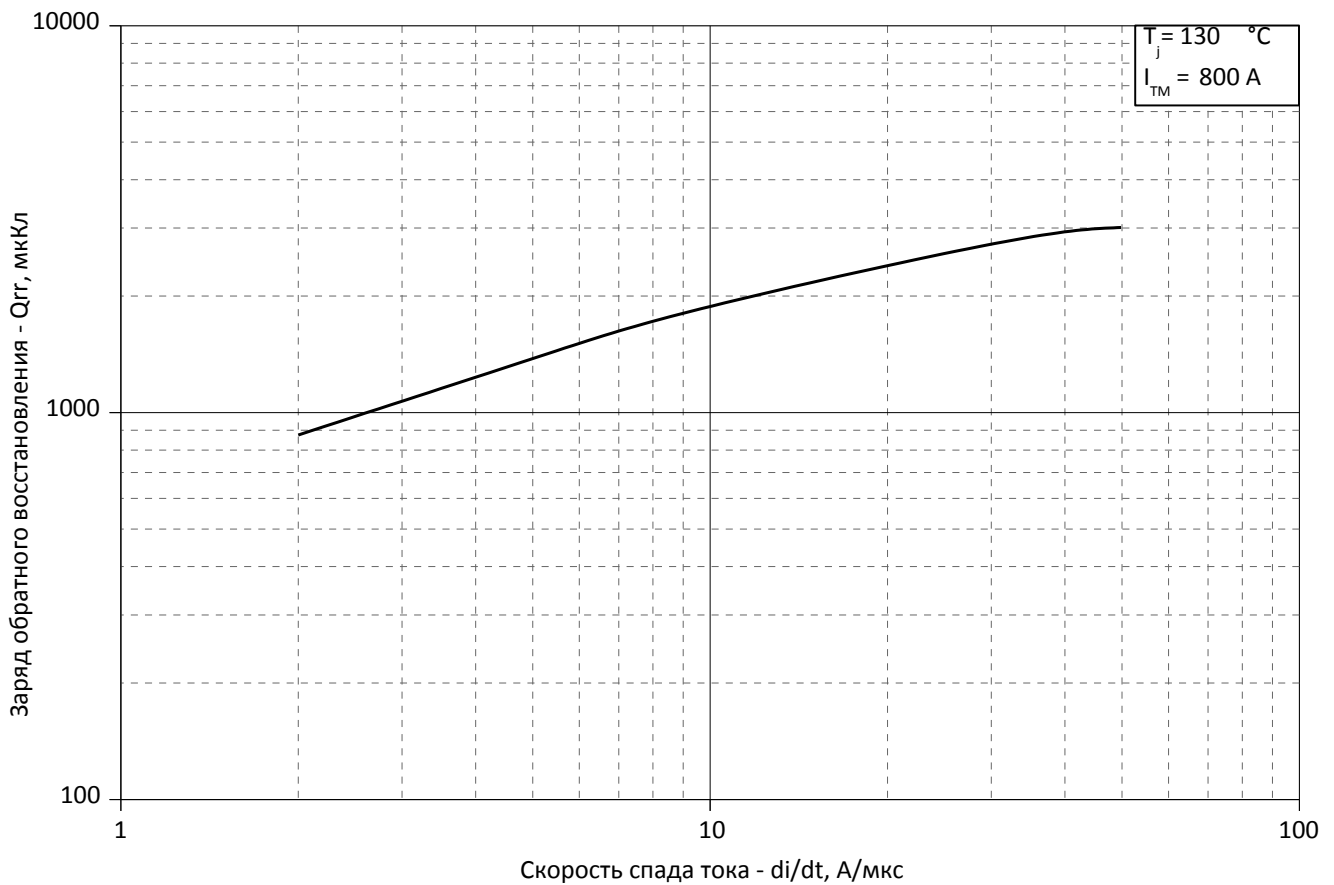


Рис. 4 – Зависимость максимального заряда обратного восстановления Q_{гр} от скорости спада тока di_r/dt (по ГОСТ 24461, хорда 25%) в открытом состоянии

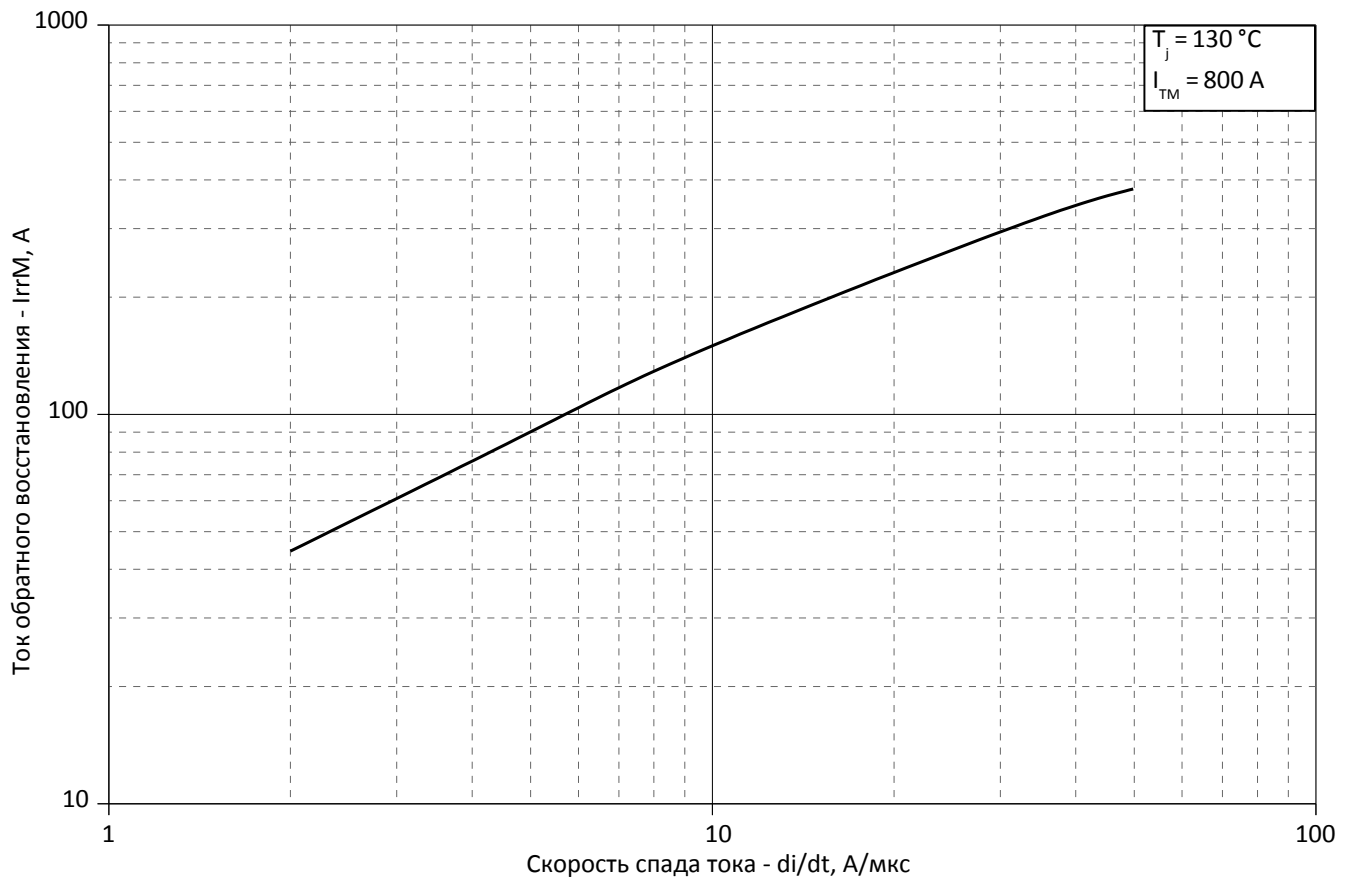


Рис. 5 – Зависимость максимального тока обратного восстановления I_{TRM} от скорости спада тока di_R/dt в открытом состоянии

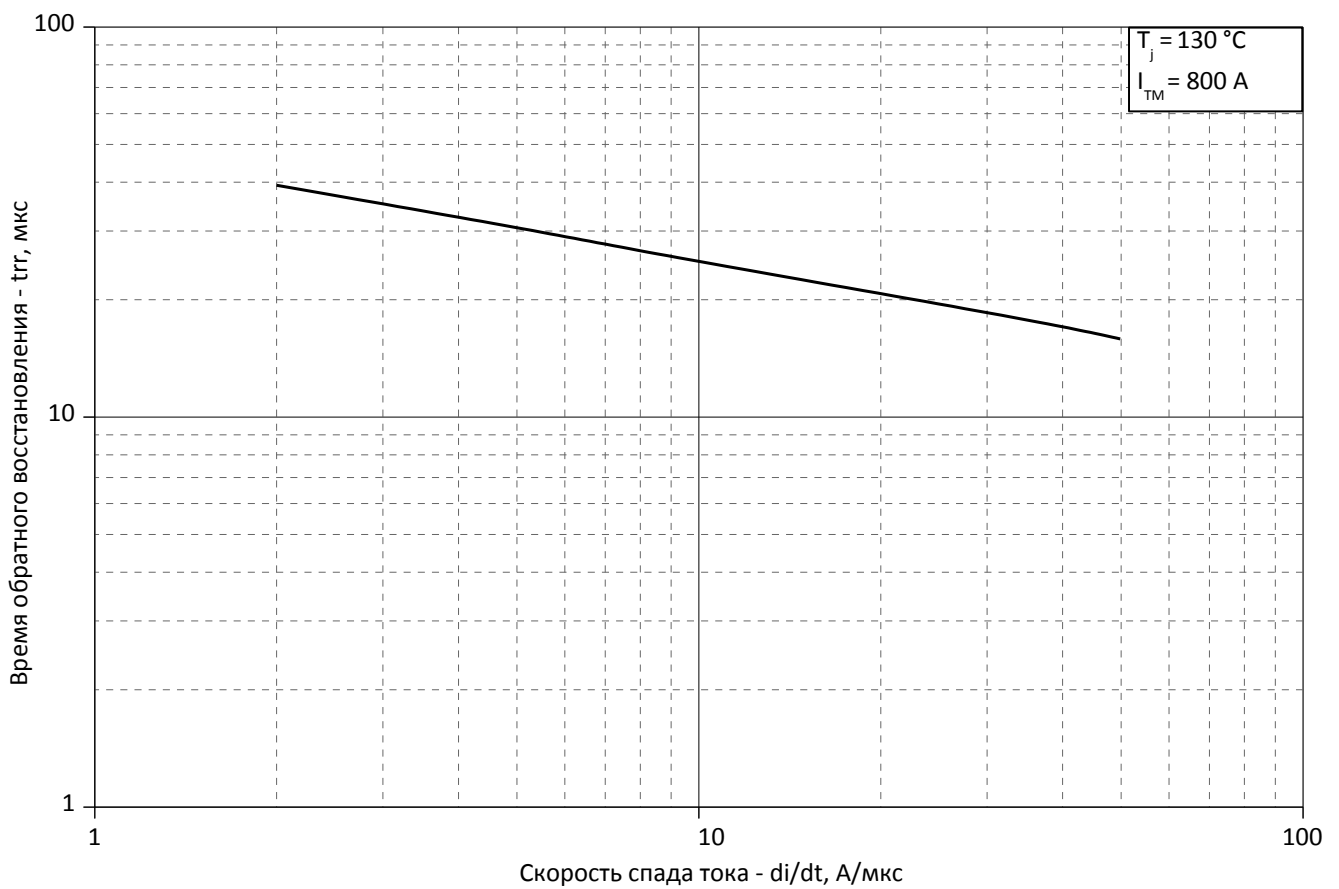


Рис. 6 - Зависимость максимального времени обратного восстановления t_{tr} от скорости спада тока di_R/dt (по ГОСТ 24461, хорда 25%) в открытом состоянии

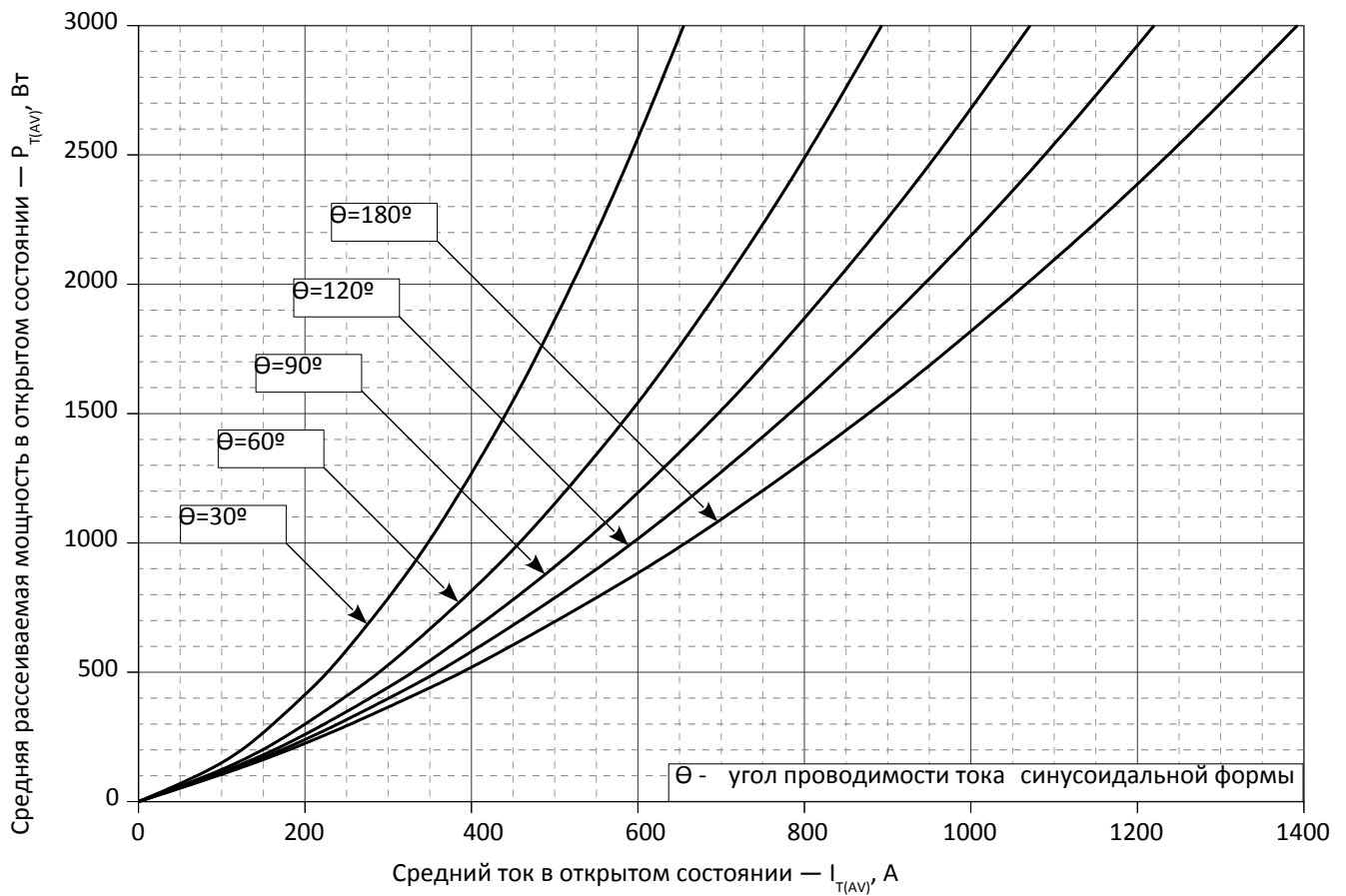


Рис. 7 - Зависимость потерь мощности P_{TAV} от среднего тока в открытом состоянии I_{TAV} синусоидальной формы при различных углах проводимости ($f=50$ Гц, двустороннее охлаждение)

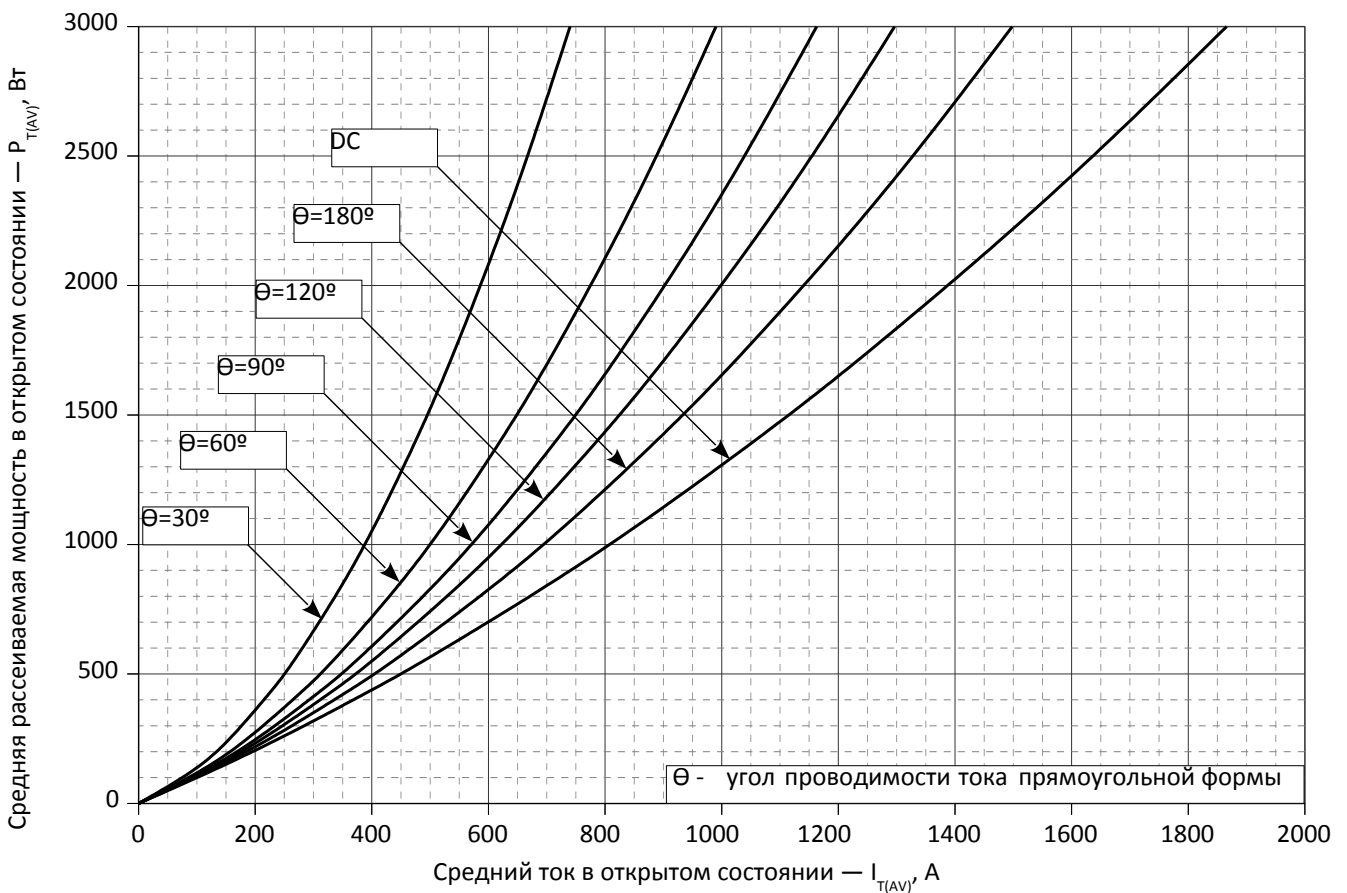


Рис. 8 - Зависимость потерь мощности P_{TAV} от среднего тока в открытом состоянии I_{TAV} прямоугольной формы при различных углах проводимости ($f=50$ Гц, двустороннее охлаждение)

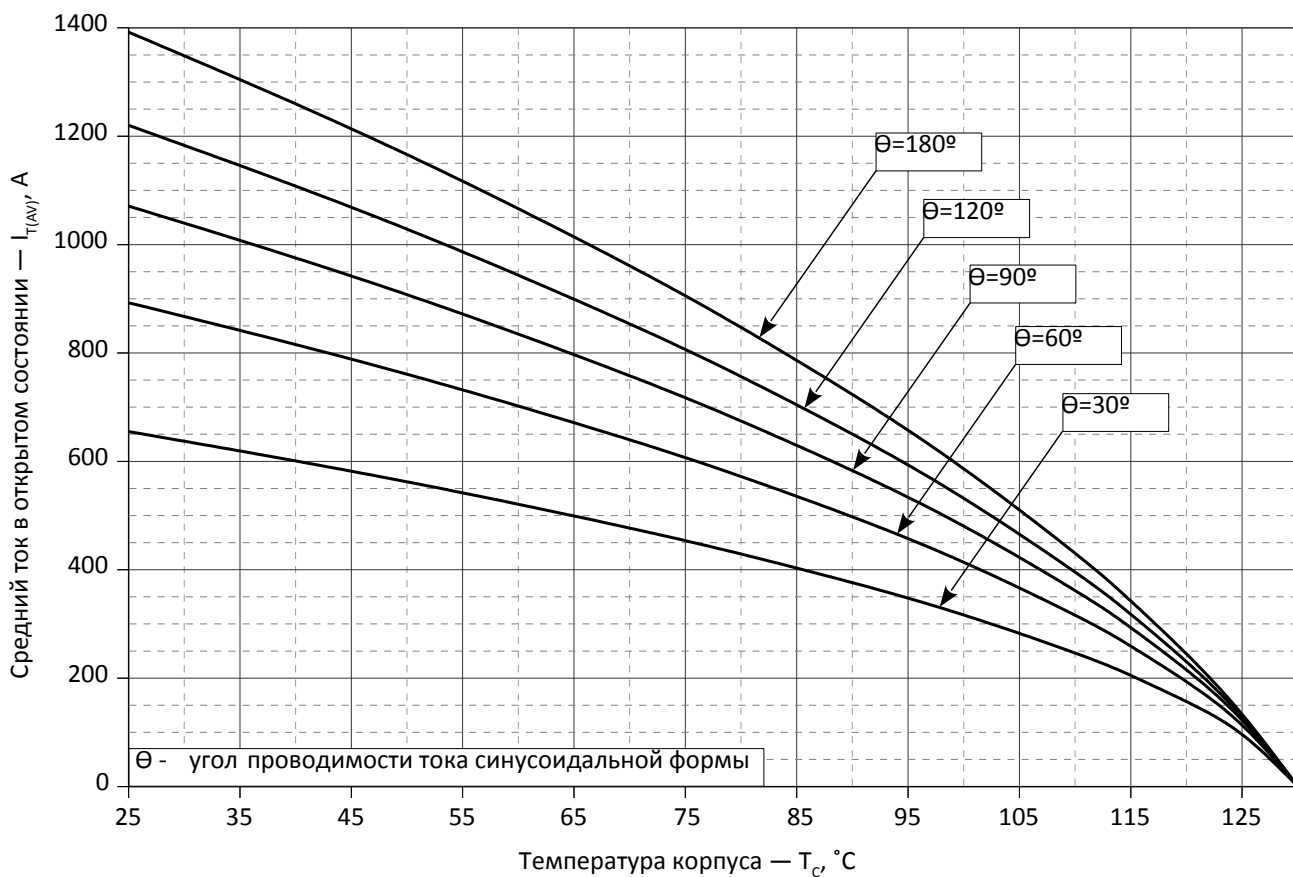


Рис. 9 – Зависимость среднего тока в открытом состоянии I_{TAV} от температуры корпуса T_c для синусоидальной формы тока при различных углах проводимости ($f=50$ Гц, Двустороннее охлаждение)

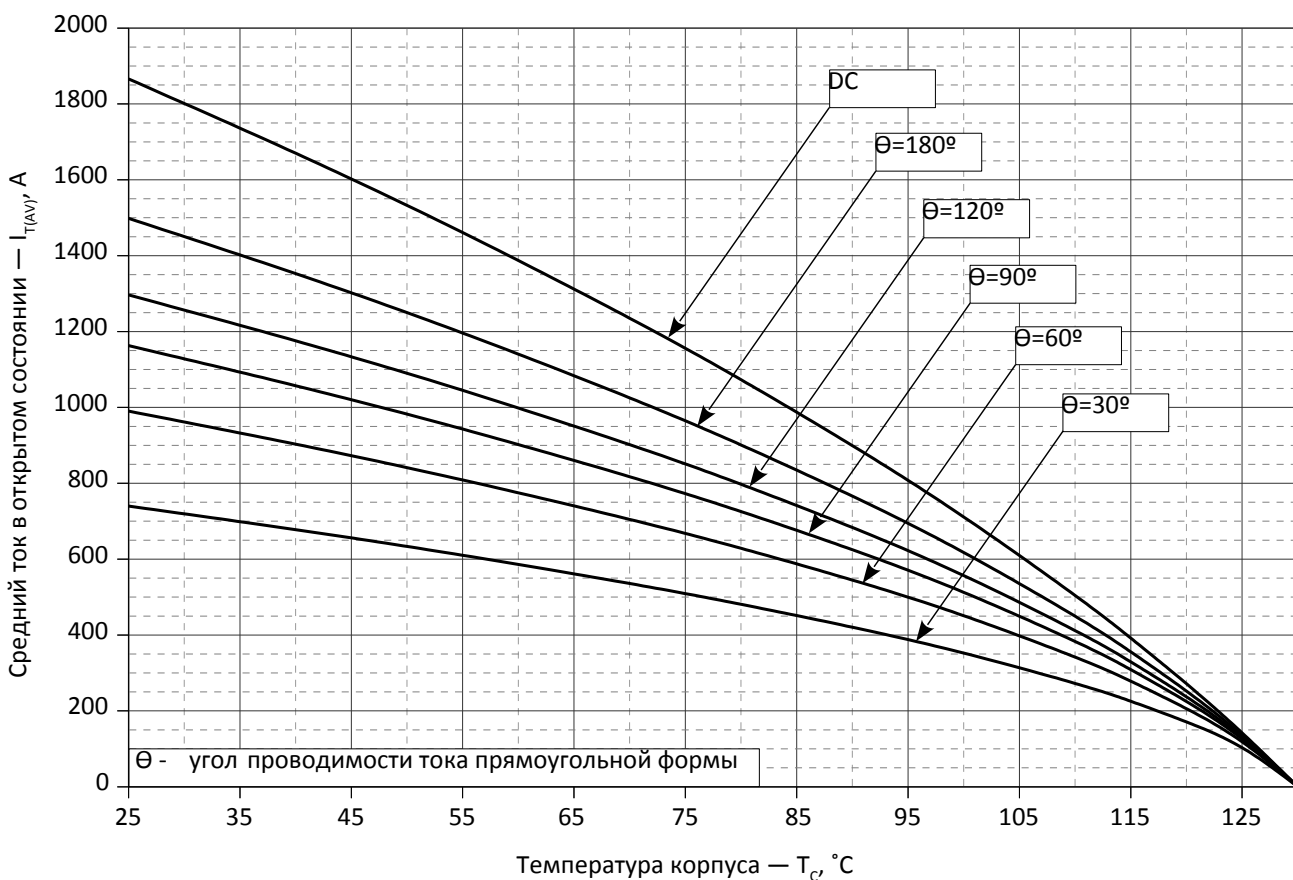


Рис. 10 - Зависимость среднего тока в открытом состоянии I_{TAV} от температуры корпуса T_c для прямоугольной формы тока при различных углах проводимости ($f=50$ Гц, Двустороннее охлаждение)

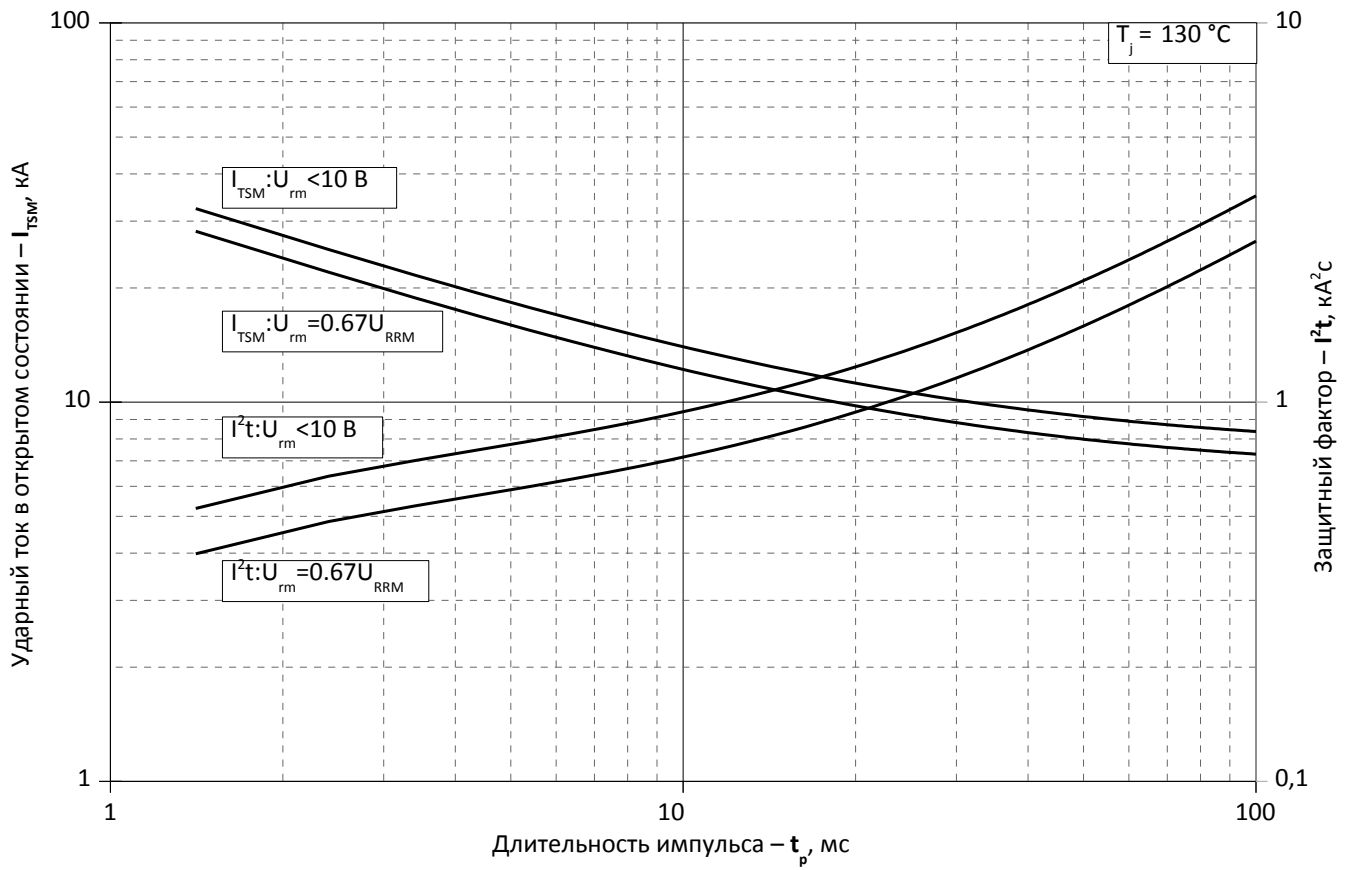


Рис. 11 – Зависимость максимальной амплитуды ударного тока в открытом состоянии I_{TSM} и защитного фактора I^2t от длительности импульса t_p

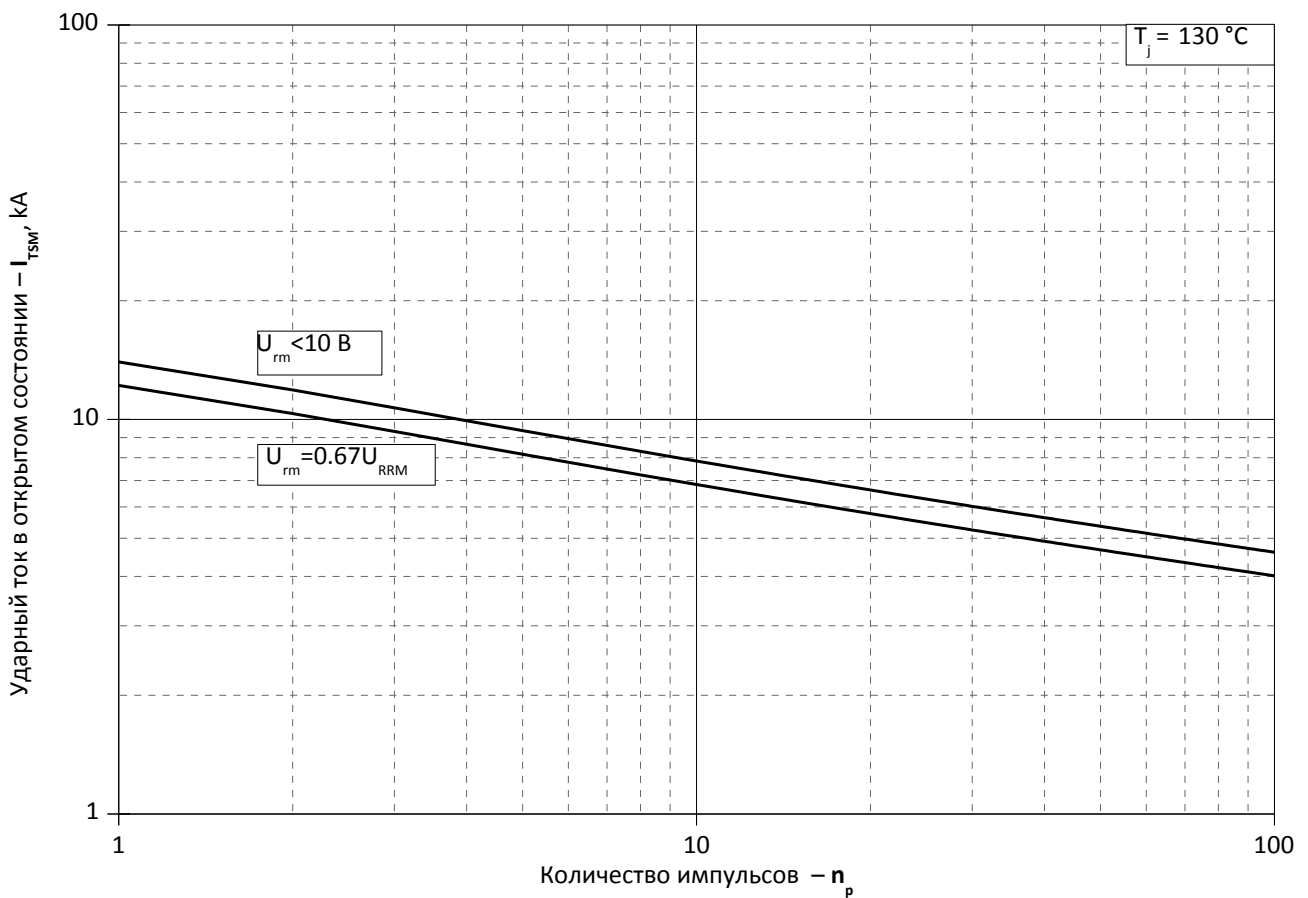


Рис. 12 – Зависимость максимальной амплитуды ударного тока в открытом состоянии I_{TSM} от количества импульсов n_p